

Assessment of Greywater Treatment Efficiency Using of Surface Adsorption with Iron oxide nanoparticles

Received: 13 March 2025, Accepted: 07 June 2025

Saeid Govahi¹, Ehsan Derikvand^{2*}, Saeb Khoshnavaz², Mohsen Solimani Babarsad², Iman Parseh³

¹ Department of Water Sciences, Sho.C., Islamic Azad University, Shoushtar, Iran.

² Research Center for Water Science and Environmental, Department of Water Sciences, Sho.C., Islamic Azad University, Shoushtar, Iran

³Department of Environmental Health Engineering, Behbahan Faculty of Medical Sciences, Behbahan, Iran

ABSTRACT

Background: In recent years, the management and treatment of greywater have become critical environmental challenges due to the presence of non-biodegradable pollutants that conventional wastewater treatment methods fail to fully remove. This study aims to evaluate the efficiency of a hybrid approach combining adsorption using iron oxide nanoparticles (Fe_3O_4) and advanced chemical oxidation with $\text{UV}/\text{H}_2\text{O}_2$ for greywater treatment.

Materials and Methods: Greywater samples were first treated with Fe_3O_4 nanoparticles under optimized conditions: $\text{pH}=5$, contact time of 40 minutes, and adsorbent dosage of 1.2 g/L. Subsequently, $\text{UV}/\text{H}_2\text{O}_2$ oxidation was applied to enhance removal efficiency.

Results: Adsorption alone achieved removal efficiencies of 57% for COD, 36% for BOD, 7.5% for TKN, and 60% for TP. Following $\text{UV}/\text{H}_2\text{O}_2$ oxidation, COD removal increased to over 93%, reducing residual COD to 12.1 mg/L. The process showed optimal performance at lower pH levels 4 to 5, while H_2O_2 concentrations up to 7 mM improved oxidation efficiency without significant enhancement beyond this level.

Conclusion: The integration of physical adsorption and advanced oxidation not only overcomes the limitations of conventional methods but also meets environmental discharge standards. With high efficiency and relatively low operational costs, this dual-stage method offers a sustainable solution for greywater management in urban and industrial settings.

Keywords: Greywater, Hydrogen Peroxide, Ultraviolet, Treatment, Oxidation, SBR

***Corresponding Author:**
ehsan.derikvand@iau.ac.ir

How to Cite This Article:
Govahi S, Derikvand E, Khoshnavaz S, Solimani Babarsad M, Parseh I. Assessment of greywater treatment efficiency using of surface adsorption with iron oxide nanoparticles. Journal of Environmental Health Engineering. 2025;13(2):189–203.

DOI:

مطالعه میزان تصفیه پذیری آب خاکستری با استفاده از جذب سطحی با نانوذرات آهن

تاریخ دریافت: ۱۴۰۳/۱۲/۲۳ تاریخ پذیرش: ۱۴۰۴/۰۳/۱۷

سعید گواهی^۱، احسان دریکووند^{۲*}، صائب خوش نواز^۲، محسن سلیمانی بابر صاد^۲، ایمان پارسه^۲^۱ گروه مهندسی آب، واحد شوشتار، دانشگاه آزاد اسلامی، شوشتار، ایران^۲ گروه مهندسی آب، مرکز تحقیقات علوم آب و محیط زیست واحد شوشتار، دانشگاه آزاد اسلامی، شوشتار، ایران^۳ گروه مهندسی بهداشت محیط، دانشکده علوم پزشکی بهبهان، بهبهان، ایران

چکیده

زمینه و هدف: در سال‌های اخیر، مدیریت و تصفیه آب خاکستری به یکی از چالش‌های مهم محیط‌زیستی تبدیل شده است. وجود آلاینده‌های غیرقابل تجزیه بیولوژیکی در آب خاکستری، روش‌های متداول تصفیه را ناتوان از دستیابی به استانداردهای زیست‌محیطی می‌کند. هدف این مطالعه، ارزیابی کارایی تلفیق فرآیندهای جذب سطحی با نانوذرات Fe_3O_4 و اکسیداسیون $\text{UV}/\text{H}_2\text{O}_2$ در حذف آلاینده‌های آب خاکستری است.

مواد و روش‌ها: در این مطالعه، نمونه آب خاکستری ابتدا تحت فرآیند جذب سطحی با نانوذرات Fe_3O_4 در شرایط بهینه شامل $\text{pH}=5$ ، زمان تماش ۴۰ دقیقه و غلظت $1/2$ گرم بر لیتر قرار گرفت. پس از آن، مرحله اکسیداسیون $\text{UV}/\text{H}_2\text{O}_2$ جهت افزایش راندمان حذف آلاینده‌های مقاوم اعمال شد.

یافته‌ها: نتایج نشان دادند که فرآیند جذب سطحی به تنها قدر به حذف ۵۷٪ COD ، ۳۶٪ BOD ، ۵٪ TKN و ۶۰٪ TP است. با اضافه کردن اکسیداسیون شیمیابی، راندمان حذف COD به بیش از ۹۰٪ یافت. تغییرات pH تنها تأثیر جزئی بر حذف فسفات و نیترات داشت، اما pH در محدوده ۴ تا ۵ افزایش یافت. عملکرد بهتری در حذف COD مشاهده شد. افزایش غلظت H_2O_2 تا ۷ میلی مولار راندمان اکسیداسیون را بهبود بخشید، اما مقادیر بالاتر اثر محسوسی نداشتند.

نتیجه گیری: تلفیق فرآیندهای جذب سطحی و اکسیداسیون پیشرفت‌هه می‌تواند محدودیت‌های روش‌های مرسوم را در تصفیه آب خاکستری برطرف کند. این رویکرد نوآورانه با کارایی بالا و هزینه‌های عملیاتی مناسب، می‌تواند الگویی پایدار برای مدیریت آب خاکستری در شرایط شهری و صنعتی مطرح شود.

واژه‌های کلیدی: آب اکسیژنه، اکسیداسیون، بیولوژیکی، تصفیه، خاکستری، فرابنفش

*پست الکترونیکی نویسنده مسئول:

ehsan.derikvand@iau.ac.ir

نحوه استناد به این مقاله:

Govahi S, Derikvand E, Khoshnavaz S, Solimani Babarsad M, Parseh I. Assessment of greywater treatment efficiency using of surface adsorption with iron oxide nanoparticles. Journal of Environmental Health Engineering. 2025;13(2):189–203.

DOI:

مقدمه

باقي مانده استفاده می‌شود. این رویکرد دوگانه نه تنها کارایی حذف را افزایش می‌دهد، بلکه هزینه‌های عملیاتی را نیز کاهش می‌دهد.^۵

آب خاکستری به دلیل تنوع و مقاومت آلاینده‌های آن مانند مواد آلی پیچیده، فسفات، نیترات و فلزات سنگین، چالش‌های منحصر به فردی را برای تصفیه ایجاد می‌کند. آب خاکستری حاوی ترکیبات آلی متعدد است که روش‌های بیولوژیکی مرسوم نمی‌توانند آنها را تجزیه کنند.^۶ بسیاری از آلاینده‌های آب خاکستری (مانند فلزات سنگین) در برابر روش‌های متداول تصفیه مقاوم هستند و نیازمند فناوری‌های پیشرفته‌ترند.^۷ فرآیندهای مرسوم تصفیه گاهی از نظر اقتصادی مقرن به صرفه نیستند و نیازمند بهینه‌سازی هستند.^۸

روش‌های متداول تصفیه آب خاکستری شامل فرآیندهای بیولوژیکی، شیمیایی و فیزیکی است. فرآیندهای بیولوژیکی مانند SBR (Sequencing Batch Reactor) قادر به حذف مواد آلی و مواد غذایی هستند، اما در برابر آلاینده‌های مقاوم ناکارآمدند. فرآیندهای شیمیایی مانند اکسیداسیون شیمیایی UV/H_2O_2 می‌توانند آلاینده‌های مقاوم را تجزیه کنند، اما هزینه بالایی دارند. فرآیندهای فیزیکی مانند جذب سطحی با نانوذرات Fe_3O_4 کارایی خوبی در حذف فلزات سنگین دارند، اما نمی‌توانند تمام آلاینده‌ها را از بین ببرند.^۹ با این حال، مطالعات قبلی نشان داده‌اند که تلفیق روش‌های جذب سطحی و اکسیداسیون شیمیایی می‌تواند محدودیت‌های فرآیندهای مرسوم را برطرف کند. به عنوان مثال، مطالعه Zazouli و همکاران (۲۰۱۴) نشان داد که استفاده از نانوذرات Fe_3O_4 در تلفیق با UV/H_2O_2 می‌تواند COD را تا ۹۵٪ حذف کند.^{۱۰}

تحقیق حاضر دو نوآوری اصلی دارد: ابتدا آب خاکستری از فرآیند SBR عبور داده شده، سپس تحت تیمار با نانوذرات Fe_3O_4 قرار می‌گیرد، و در نهایت از اکسیداسیون UV/H_2O_2 برای حذف کامل آلاینده‌های باقی مانده استفاده می‌شود. این رویکرد دوگانه باعث افزایش راندمان حذف

در سال‌های اخیر، مدیریت و تصفیه فاضلاب‌های شهری و صنعتی به چالشی جدی در حفظ منابع آب تبدیل شده است. آب خاکستری (Greywater) که از فعالیت‌های روزمره مانند شستشو، دوش گرفتن و آشپزخانه ناشی می‌شود، یکی از منابع قابل بازیافت آب است که به دلیل حضور آلاینده‌های غیرقابل تجزیه بیولوژیکی، نیازمند روش‌های پیشرفت‌هه تصفیه است. این نوع فاضلاب معمولاً دارای مواد آلی پیچیده، فسفات، نیترات و در برخی موارد فلزات سنگین مانند سرب، کادمیوم و جیوه است. این آلاینده‌ها نه تنها می‌توانند خطرات بهداشتی جدی برای انسان‌ها ایجاد کنند (مانند اختلال در عملکرد کبدی، کلیوی و سیستم عصبی)، بلکه در زنجیره غذایی تجمع می‌یابند و باعث یوتروفیکاسیون آب‌های سطحی می‌شوند.^{۱۱}

پیشرفت‌های اخیر در زمینه نانوتکنولوژی، استفاده از نانوذرات با خواص جذب سطحی بالا را برای تصفیه فاضلاب‌های پیچیده تسهیل کرده است. نانوذرات اکسید آهن (Fe_3O_4) به دلیل سطح ویژه بالا، قابلیت بازیابی مغناطیسی و پایداری شیمیایی، در حذف آلاینده‌های مختلف مورد توجه قرار گرفته‌اند. با این حال، مطالعات قبلی نشان داده‌اند که روش‌های جذب سطحی به تنها یکی قادر به دستیابی به استانداردهای دفع فاضلاب نیستند، زیرا نمی‌توانند آلاینده‌های مقاوم را کاملاً جذب کنند. برای مثال، مطالعه Gharloghi و همکاران (۲۰۱۶) نشان داد که استفاده از نانوذرات Fe_3O_4 در تصفیه فاضلاب شهری فقط ۵۰٪ از COD را حذف می‌کند، در حالی که تلفیق این روش با اکسیداسیون شیمیایی مانند UV/H_2O_2 می‌تواند راندمان حذف را به بیش از ۹۰٪ افزایش دهد.^{۱۲}

در مقایسه با مطالعات قبلی، پژوهش حاضر به تکمیل چرخه تصفیه می‌پردازد: ابتدا آب خاکستری از فرآیند بیولوژیکی SBR عبور داده می‌شود، سپس تحت تیمار با نانوذرات Fe_3O_4 در شرایط بهینه قرار می‌گیرد، و در نهایت از اکسیداسیون UV/H_2O_2 برای حذف کامل آلاینده‌های

خصوصیات آن را ثابت نگه داشت و راندمان سیستم تصفیه را دقیق تر مورد سنجش قرار داد. اجزاء تشکیل دهنده آب خاکستری آزمایشگاهی در جدول ۱ و ۲ ذکر شده است. آب خاکستری که مورد جذب سطحی و اکسیداسیون قرار می-گیرد قبلاً در سیستم بیولوژیکی SBR مورد تصفیه قرار گرفته است و به دلیل عدم تصفیه کامل در این مطالعه جهت حذف بیشتر از جذب سطحی با ذرات نانو آهن و اکسیداسیون شیمیایی استفاده می کنیم. پارامترهای COD، BOD، TP و TKN پارامترهای کیفی مورد بررسی می باشند. اندازه گیری ها طبق دستورالعمل بیست و چهارمین چاپ کتاب استاندارد متدهای آزمایشگاهی A 5220، 5210 NE 4500 P، A 4500 NE 4500 P انجام شده است. ذرات آهن با ایجاد میدان مغناطیسی قوى همانطور که در شکل ۱ آمده است جدا می شوند. به منظور خارج کردن جاذب از آهنربا و گوس متر با تنظیم و کالیبره کردن میدان مغناطیسی در حد $1/3$ Tesla استفاده گردید. پس از جذب، نانوذرات با استفاده از یک میدان مغناطیسی جدا شدند و چندین بار با آب مقطر و الكل شستشو داده شدند تا ناخالصی ها و یون های اضافی حذف شوند. سپس نمونه ها در دمای 60°C درجه به مدت ۱۲ ساعت خشک شدند.

تهییه آب خاکستری

در این مطالعه، آب خاکستری سنتزی مطابق جدول ۱ با استفاده از مواد شیمیایی مختلفی شامل پودر لباسشویی (mg/L) ۲۰۰ به عنوان سورفاکтанت های روغنی شبیه سازی کننده مواد شوینده، عصاره گوشت (mg/L) ۶۰۰ به عنوان منع مواد آلی پیچیده و کربوهیدراتی، آرد کیک (mg/L) ۱۵ به عنوان منع نیتروژنی مشابه اوره، صابون بدن (mg/L) ۴ به عنوان سورفاکتانت محلول در فعالیت های شخصی، و روغن (mg/L) ۰/۰۱ به عنوان ترکیب آلی مقاوم موجود در بقایای غذی تهییه شده است. این مواد به گونه ای انتخاب شده اند که تنوع آلاینده های موجود در آب خاکستری واقعی را به خوبی شبیه سازی کنند و شرایط چالش برانگیز برای ارزیابی عملکرد فرآیند تصفیه تلفیقی

COD به بیش از ۹۰٪ می شود.^۳ در این پژوهش، شرایط بهینه مانند pH، زمان تماس و غلظت نانوذره برای حذف ماکریم آلاینده ها تعیین شده است. به عنوان مثال، نتایج نشان دادند که در pH برابر ۵ و غلظت $1/2$ گرم بر لیتر نانوذره Fe_3O_4 ، راندمان حذف COD به 57% و بعد از اکسیداسیون به 90% افزایش می یابد.^۳ در نهایت، اهداف اصلی این پژوهش شامل بهینه سازی پارامترهای تصفیه برای حذف ماکریم آلاینده ها، ارزیابی تأثیر تلفیق جذب سطحی و اکسیداسیون H_2O_2 ، تحلیل مقایسه ای نتایج با مطالعات مشابه و ارائه یک مدل قابل اجرا برای مدیریت پایدار آب خاکستری در شرایط شهری است.

مواد و روش ها

شناسایی و تهییه نانوذرات اکسید آهن

نانوذرات آهن (Fe_3O_4) خریداری شده از شرکت Finenano دارای شکل کروی، سطح ویژه بالا، اندازه ذرات نانویی ($40-10$ نانومتر)، خلوص بالا (بالای ۹۸٪) و مقاومت حرارتی بالا (نقطه ذوب 597°C درجه سانتیگراد) هستند. خواص مغناطیسی نانوذرات با استفاده از دستگاه VSM (Vibrating Sample Magnetometer) مورد بررسی قرار گرفت. نتایج نشان داد که نانوذرات دارای خاصیت فرومغناطیس ضعیف هستند و قابلیت جداسازی مغناطیسی بعد از فرآیند جذب را دارند، که این یک مزیت مهم عملی در کاربردهای تصفیه فاضلاب است. نقطه صفر بار سطحی (pH at point of zero charge) نانوذرات pHZC با روش تیتراسیون پتانسیومتری تعیین شد. مقدار نانوذرات Fe_3O_4 حدود $6/5$ به دست آمد، که نشان دهنده تمایل بالای این جاذب به جذب آلاینده های منفی در pH کمتر از این مقدار است.

با توجه به اینکه خصوصیات آب خاکستری در زمانهای مختلف از نظر اندازه و کیفیت تغییر می کند آب خاکستری با توجه به اجزاء تشکیل دهنده آن در پساب های خانگی در آزمایشگاه ساخته شد و جهت مطالعه استفاده گردید تا بتوان

مشخصات شیمیایی آب ستتر شده نشان داد که دارای $\text{TKN} = ۳/۹ \text{ mg/L}$, $\text{BOD} = ۴۰ \text{ mg/L}$, $\text{COD} = ۱۷۰ \text{ mg/L}$ و $\text{TP} = ۰/۴ \text{ mg/L}$ بوده که در محدوده استانداردهای آب خاکستری شهری قرار دارد.

نانوذرات Fe_3O_4 و اکسیداسیون $\text{UV/H}_2\text{O}_2$ فراهم شود. همچنین، استفاده از مواد شیمیایی خالص اجازه کنترل دقیق شرایط آزمایش و دستیابی به نتایج قابل تکرار را فراهم می‌کند. غلظت این مواد بر اساس مطالعات قبلی و متوسط مقادیر گزارش شده تعیین شد. هدف از این رویکرد، شبیه‌سازی شرایط واقعی بدون تغییرات ذاتی آب‌های واقعی بود تا نتایج قابل تکرار و قابل مقایسه‌ای به دست آید.

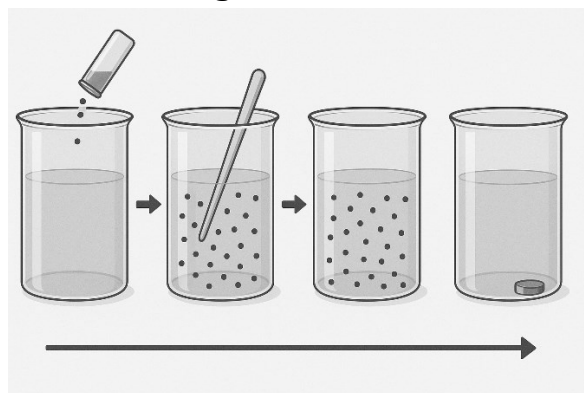
جدول ۱. ترکیبات آب خاکستری آزمایشگاهی ورودی به جذب سطحی

ترکیب	واحد در ۶۰ لیتر آب	مقدار
پودر لباسشویی	mg	۲۰۰
عصاره گوشت	mg	۶۰۰
آرد کیک	mg	۱۵
صابون بدن	mg	۴
روغن	mg	۰/۰۱

جدول ۲. خصوصیات آب خاکستری آزمایشگاهی ورودی به جذب سطحی

ترکیب	واحد	مقدار
BOD_5	mg	۴۰
COD	mg	۱۷۰
TKN	mg	۳/۹
TP	mg	۰/۴

در رلندمان حذف ترکیبات NO_3 , BOD , COD و PO_4^{3-} مورد بررسی قرار گرفتند. جهت مطالعه هر پارامتر، بقیه پارامترها ثابت قرار داده می شود و فقط پارامتر مورد مطالعه در چند ارلن تغییر داده می شود. انتخاب محدوده زمان ۵ تا ۱۲۰ دقیقه به بررسی سرعت واکنش و زمان لازم برای دستیابی به تعادل جذب کمک می کند و امکان مقایسه با سایر مطالعات را فراهم می آورد. قبل از هر آزمایش مواد معلق آب توسط صافی $0/45$ میکرومتری گرفته می شود. جهت حذف مزاحمت آهن در اندازه گیری COD , pH , BOD نمونه را تا مقدار ۱۰ بالا میبریم تا آهن به صورت هیدروکسید آهن در آمده و به کمک فیلتراسیون از آب خارج گردد.^۷



شکل ۱. روش جداسازی آهن و آنالیز نمونه ها

نرمال و سود سوز آور $0/1$ نرمال استفاده گردید. پس از یافتن زمان لیده آل جذب، تاثیر pH بر این فرآیند با انجام آزمایش هایی در محدوده pH بین 3 تا 10 و با استفاده از $0/5$ گرم بر لیتر نانوذرات اکسید آهن بررسی شد. نقطه صفر بار (pHPZC) نانوذرات Fe_3O_4 در حدود $6/5$ گزارش شده است. در $\text{pH} 6/5$ سطح جاذب دارای بار مثبت است و جذب یون های منفی مثل PO_4^{3-} و NO_3^- افزایش می یابد.^۸ پس از یافتن زمان تماس و pH لیده آل، تاثیر مقدار جاذب نانوذرات اکسید آهن بر فرآیند جذب بررسی شد. بدین منظور، مقدار Fe_3O_4 مختلف جاذب از $0/1$ تا 5 گرم در لیتر به ارلن های حاوی 250 میلی لیتر نمونه فاضلاب اضافه گردید. افزایش بیش از

با توجه به ترکیبات آلی غیر قابل تجزیه بالای این نوع از آب خاکستری و عدم توانایی تصفیه بیولوژیکی، جهت رسیدن به استاندارد تخلیه فاضلاب از فرایند جذب سطحی استفاده گردید. در فاضلاب به دلیل سطح تماس بالای ذرات ریز و جذب بالای آلینده ها توسط انها با توجه به نوع آلینده می توان از مواد نانو جهت تصفیه تکمیلی استفاده نمود. جاذب هایی که جهت حذف آلدگی می توان استفاده کرد شامل نانوذرات کربن و غشاها نانو، نانوفتوکاتالیست ها و نانوذرات آهن می گردند. نانوذرات آهن به دلیل جداسازی آسان و قدرت جذب بالای مواد آلی برای حذف ترکیبات آلی در این پژوهش استفاده شده است پارامترهای تاثیرگذار pH , زمان تماس، دوز جاذب

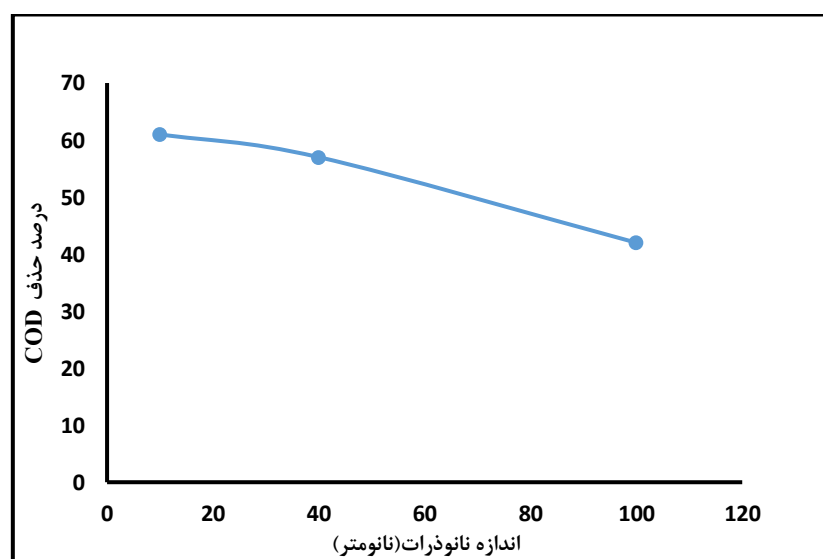
جادب مورد استفاده از نانوذرات اکسید آهن با فرمول Fe_3O_4 میباشد که اندازه ذرات آن 100 , 40 و 100 نانومتر می باشد. جهت هم زدن نمونه ها از همزن با قدرت 120 دور در دقیقه استفاده گردید. مطابق شکل ۱ پس از تصفیه با استفاده از آهنربا نانوذرات آهن و ترکیبات جذب شده را از آب جدا می کنیم. آهنربای نئودیمیومی دیسکی شکل با قطر 2 سانتی متر، ضخامت 1 سانتی متر، با چگالی شار 4800 گوس و پوشش نیکلی استفاده گردید و در مدت 3 تا 5 دقیقه در کف ظرف نانوذرات را جذب نمود. دمای محیط بین 20 و 30 درجه سانتی گراد اندازه گیری شده است حجم هر نمونه مورد آزمایش 250 میلی لیتر انتخاب و برای افزایش و کاهش pH از اسید سولفوریک $0/1$

یافته ها

تاثیر اندازه ذرات اکسید آهن در حذف COD فاضلاب خاکستری

در ابتدا لازم است اندازه ذرات اکسید آهن بهینه گردد سپس پارامترهای دیگر را مورد بررسی قرار دهیم. نمونه آب خاکستری با مقدار COD برابر ۱۷۰ میلی گرم بر لیتر به ترتیب در معرض ذرات اکسید آهن با اندازه های ۲، ۴۰، و ۱۰ نانومتر در زمان ماند مطابق نمودار شکل ۲، درجه اسیدی، و مقدار دوز یکسان از جاذب با درصد حذف ترکیبات آلی ۴۲، ۵۷ و ۶۱ درصد مواد گردید. ذرات کوچکتر به دلیل انرژی سطحی بالاتر، تمایل بیشتری به تجمع دارند. نانوذرات کوچکتر معمولاً انتقال جرم بهتری دارند و می توانند آلینده ها را سریع تر جذب کنند. نانوذرات ۱۰ نانومتر بیشترین کارایی جذب COD را نشان می دهند، اما به دلیل تجمع و نلپلیداری در شرایط واقعی نیاز به کنترل بیشتر دارند. به همین دلیل از ذرات ۴۰ نانومتر برای ادامه تحقیق استفاده نمودیم.

حد دوز ممکن است منجر به لخته شدن نانوذرات و کاهش مؤثر سطح جذب شود^{۱۲}. لذا دوزهای بالا در این مطالعه در نظر گرفته نشد. در هر مرحله، غلطت بهینه جاذب با ثابت نگه داشتن سایر شرایط، تعیین شد. لامپ UV در این پژوهش طول موجی در محلوده ۱۰۰ تا ۲۸۰ نانومتر فراهم می کند. طول موج ۲۴۰ نانومتر به دلیل توانایی بالا در شکستن پیوندهای شیمیایی آلینده های آلی و همچنین اثر میکروب کشی، در فرآیندهای اکسیداسیون پیشرفته UV/H₂O₂ (AOPs) کاربرد گسترده ای دارد. دو لامپ UV با توان ۱۵ وات در سقف یک جعبه شیشه ای به ابعاد ۲*۲*۱۵ که با فویل آلومینیومی پوشیده شده به گونه ای که با آب تماس نداشته باشد جهت پرتوافکنی قرار گرفته است. فاصله لامپها از آب ۵ سانتی متر می باشد. دمای محیط بین ۲۵ تا ۳۵ درجه متغیر بوده است.

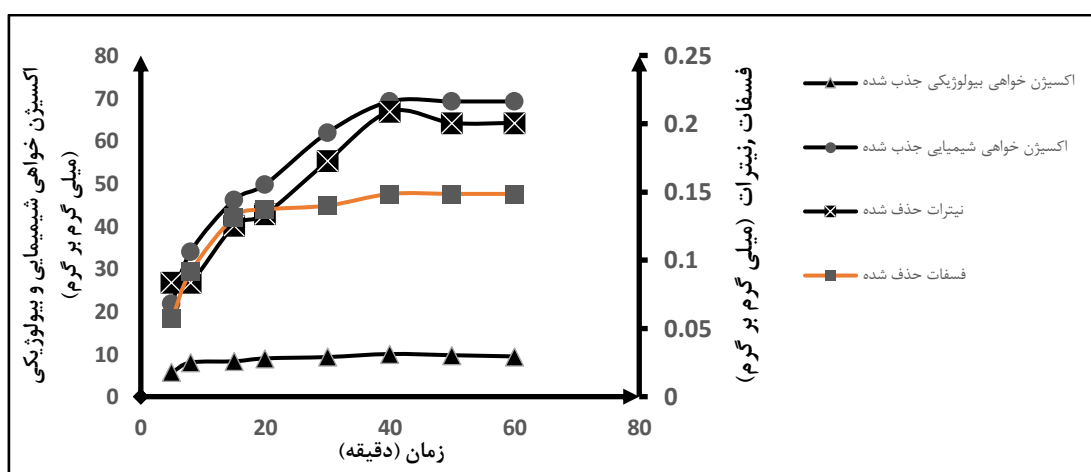


شکل ۲. تاثیر اندازه ذرات اکسید آهن در فرایند جذب COD

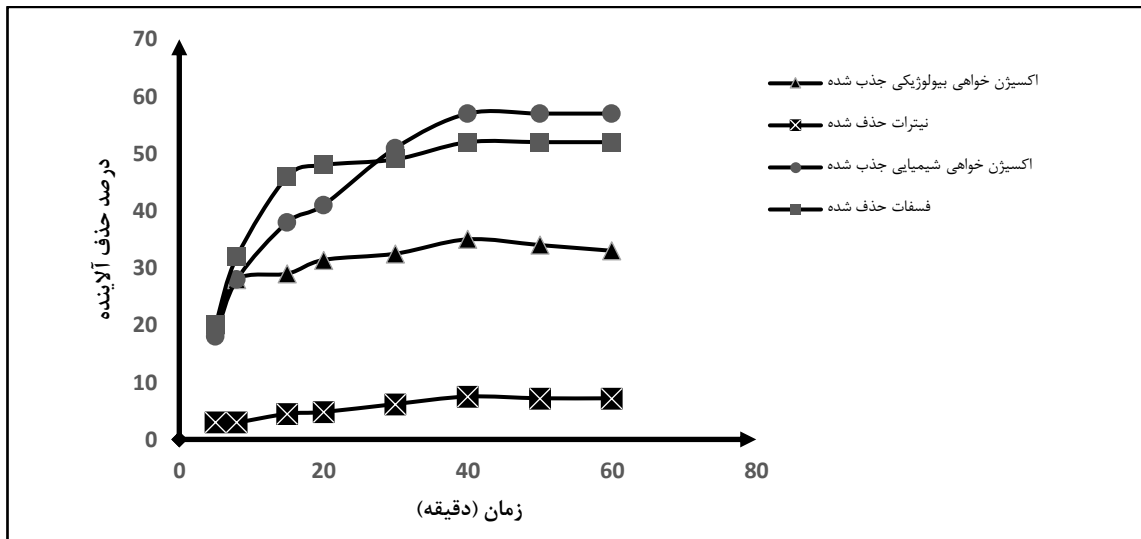
افزایش زمان تماس به ۶۰ دقیقه، مقدار BOD ۹/۴ میلی گرم در گرم نانوذره رسیده و ۳۳ درصد حذف شده است. اما پس از زمان تماس ۳۰ دقیقه (۹/۳ میلی گرم در گرم و ۳۲/۵ درصد حذف)، تغییر قابل توجهی در حذف گرم مشاهده نمی شود. مقدار TKN در زمان ۵ دقیقه ۱/۰ میلی گرم در گرم نانوذره بوده و ۳ درصد حذف شده است. اما با افزایش زمان تماس به ۶۰ دقیقه، مقدار TKN به ۰/۲ میلی گرم در گرم نانوذره رسیده و ۷/۲ درصد حذف شده است. همچنین، مقدار TP از ۰/۰۶ میلی گرم در گرم نانوذره با ۲۰ درصد حذف در ۵ دقیقه به ۰/۱۵ میلی گرم در گرم نانوذره با ۵۲ درصد حذف در ۶۰ دقیقه افزایش یافته است. نتایج نشان می دهد که با افزایش زمان تماس، نانوذرات آهن به طور مؤثری در حذف آلاینده های آب خاکستری عمل می کنند. اما پس از زمان تماس ۴۰ دقیقه، تغییر قابل توجهی در راندمان حذف آلاینده ها مشاهده نمی شود و به نظر می رسد که به یک مقدار ثابت می رسد. به طور کلی، می توان نتیجه گرفت که نانوذرات آهن به عنوان یک روش مؤثر در تصفیه آب خاکستری عمل می کنند، اما افزایش زمان تماس بیش از ۴۰ دقیقه تأثیر قابل توجهی بر راندمان حذف ندارد.

تأثیر زمان تماس بر حذف آلاینده های آب خاکستری با نانو ذرات آهن

شکل ۳ و ۴ نشان می دهد که زمان تماس چگونه بر حذف آلاینده های آب خاکستری با استفاده از نانوذرات آهن تأثیر می گذارد. با افزایش زمان تماس، تغییرات قابل توجهی در مقادیر تقاضای شیمیایی اکسیژن، تقاضای بیوشیمیایی اکسیژن، نیترات و فسفات مشاهده می شود. به عنوان مثال، افزایش زمان تماس به ۲۰ دقیقه، مقدار COD برابر ۲۲ میلی گرم در گرم نانوذره بوده و ۱۸ درصد حذف شده است. اما با افزایش زمان تماس به ۵۰ دقیقه، مقدار COD به ۴۱ میلی گرم در گرم نانوذره رسیده و درصد حذف آن به ۴۱ درصد افزایش یافته است. اما پس از زمان تماس ۲۰ دقیقه، تغییر قابل توجهی در حذف COD مشاهده نمی شود و مقدار COD در زمان های ۴۰، ۵۰ و ۶۰ دقیقه تقریباً ثابت می ماند (حدود ۶۹ میلی گرم در گرم و ۵۷ درصد حذف). این الگوی افزایشی در BOD نیز مشاهده می شود. به عنوان مثال، مقدار BOD در زمان ۵ دقیقه ۵/۷ میلی گرم در گرم نانوذره بوده و ۲۰ درصد حذف شده است. اما با



شکل ۳. میزان جذب بر اساس میلی گرم آلاینده بر هر گرم نانوذرات آهن

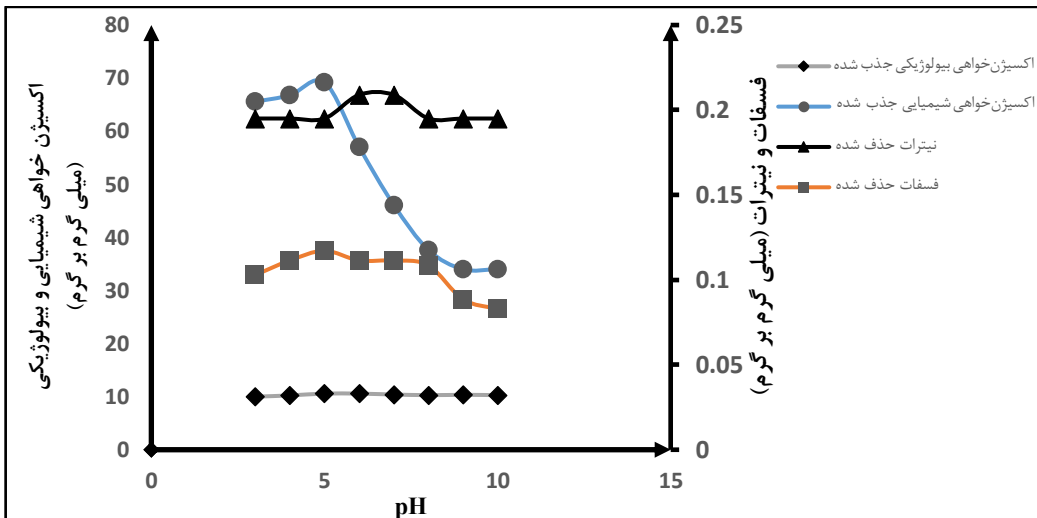
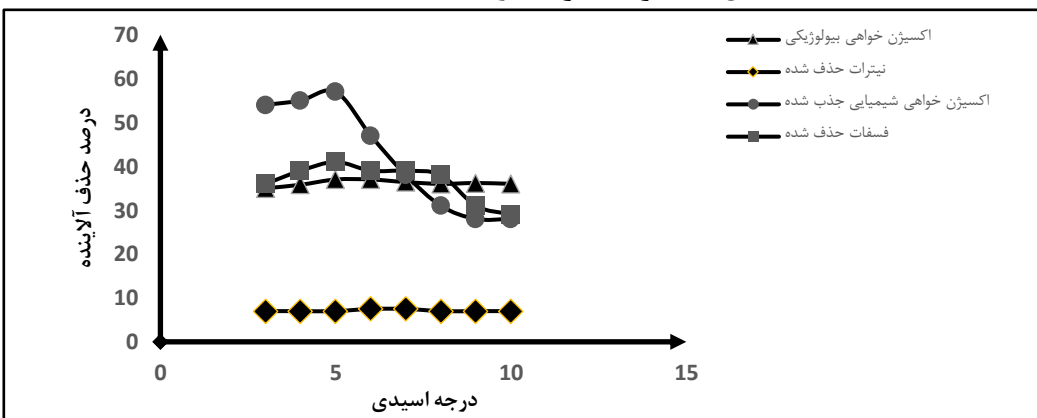


شکل ۴. درصد حذف آلاندنه های مختلف در اثر استفاده از نانو ذرات آهن

کاهش می‌یابد و به ۴۶ میلی‌گرم در گرم (٪ ۳۸٪ حذف) و مقدار BOD به $10/4$ میلی‌گرم در گرم (٪ ۳۶٪ حذف) می‌رسد. مقدار NO_3^- در pHهای مختلف تقریباً ثابت می‌ماند و حدوداً $0/2$ میلی‌گرم در گرم است و درصد حذف آن نیز تقریباً تغییر چندانی نمی‌کند. در مورد PO_4^{3-} مقدار حذف در pH برابر 3 برابر $0/1$ میلی‌گرم در گرم (٪ ۳۶٪ حذف) بوده و با افزایش pH به 7 به $0/11$ میلی‌گرم در گرم (٪ ۳۹٪ حذف) می‌رسد. به طور کلی، نتایج نشان می‌دهند که pH بهینه برای حذف COD و BOD در محدوده 4 و 5 است، زیرا در این pH ها درصد حذف بیشتری دارند. اما برای NO_3^- و PO_4^{3-} تغییرات pH تأثیر زیادی بر میزان حذف ندارند و تقریباً ثابت باقی می‌مانند. همچنین، شکل ۶ نشان می‌دهد که تغییرات pH در حذف فسفات و نیترات تأثیر کمتری دارد، اما در حذف BOD در pHهای پایین، عملکرد بهتری دارد.

تأثیر pH بر حذف آلاندنه های آب خاکستری با نانو ذرات آهن

شکل ۵ و ۶ نشان می‌دهند که چگونه pH بر تخلیه آلاندنهای آب خاکستری با استفاده از نانو ذرات آهن تأثیر می‌گذارد. به عنوان مثال، در pH برابر 3 ، مقدار مصرف اکسیژن شیمیایی برابر $65/6$ میلی‌گرم در گرم نانو ذرات آهن بوده و $0/54$ ٪ از آن حذف شده است. همچنین، مقدار مصرف اکسیژن زیستی برابر 10 میلی‌گرم در گرم نانو ذرات آهن بوده و $0/35$ ٪ از آن حذف شده است. با افزایش pH به 4 و 5 ، مقادیر COD و BOD افزایش می‌یابند و به ترتیب به $66/8$ میلی‌گرم در گرم (٪ ۵۵٪ حذف) و $69/2$ میلی‌گرم در گرم (٪ ۵۷٪ حذف) برای COD و $10/2$ میلی‌گرم در گرم (٪ ۳۵٪ حذف) و $10/6$ میلی‌گرم در گرم (٪ ۳۷٪ حذف) برای BOD می‌رسند. در pH برابر 7 ، مقدار COD

شکل ۵. تاثیر pH بر مقدار جذب آلاندنه با Fe₃O₄شکل ۶. تاثیر pH بر راندمان حذف آلاندنه با Fe₃O₄

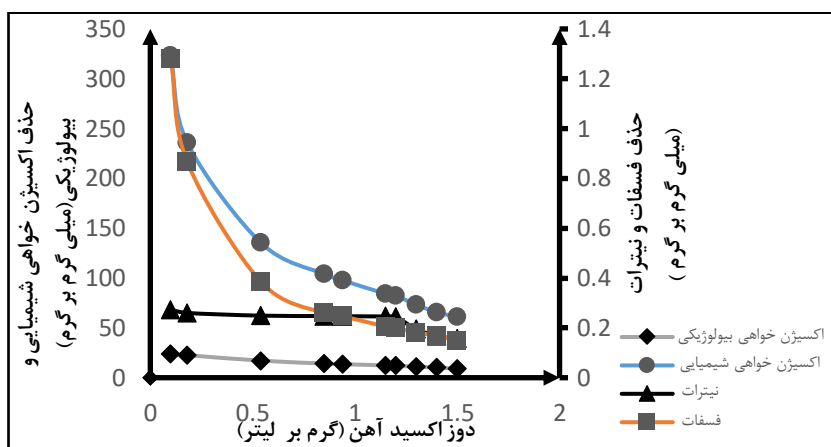
به $17/1 \text{ mg/g}$ با $23/1\%$ حذف می‌شود. در مقدار بهینه $1/2$ ، میزان COD به $82/16 \text{ mg/g}$ با $58/1\%$ حذف و میزان BOD به 12 mg/g با $36/1\%$ حذف می‌رسد. همچنین، میزان NO_3 در مقدار $1/1 \text{ g/l}$ برابر با $273/0 \text{ mg/g}$ با $6/1\%$ حذف می‌شود و با افزایش مقدار به $1/2 \text{ g/l}$ ، میزان حذف به $24/0 \text{ mg/g}$ با $12/1\%$ حذف می‌رسد. همچنین، میزان PO_4 در مقدار $1/1 \text{ g/l}$ برابر با $7/0 \text{ mg/g}$ با $32/1\%$ حذف می‌شود و با افزایش مقدار به $1/2 \text{ g/l}$ ، میزان حذف به $2/0 \text{ mg/g}$ با $60/1\%$ حذف می‌شود. این نتایج نشان می‌دهند که با افزایش مقدار Fe_3O_4 تا مقدار بهینه $1/2 \text{ g/l}$ کارایی حذف آلاندنه‌ها به طور قابل توجهی افزایش می‌یابد. در این مقدار بیشترین درصد حذف برای COD و PO_4 مشاهده می‌شود. به

دوز بهینه Fe_3O_4 جهت حذف آلاندنه‌های آلی و معدنی آب خاکستری

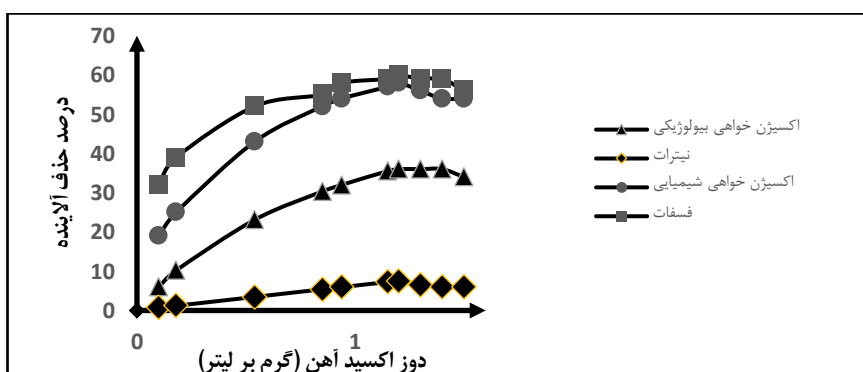
شکل ۷ و ۸ شان می‌دهد که چگونه افزودن مقداری مختلفی از Fe_3O_4 به آب خاکستری می‌تواند به حذف آلاندنه‌های آلی و معدنی کمک کند. با افزایش مقدار Fe_3O_4 از $0/1$ تا $1/5 \text{ g/l}$ ، تغییرات قابل توجهی در مقدار COD، BOD و NO_3 مشاهده می‌شود. برای مثال، در مقدار $223/3 \text{ mg/g}$ از Fe_3O_4 میزان COD برابر با $1/1 \text{ g/l}$ با $19/1\%$ حذف شده و میزان BOD برابر با 24 mg/g با $6/1\%$ حذف شده است. ولی با افزایش مقدار به $0/55 \text{ g/l}$ ، میزان COD به $43/135 \text{ mg/g}$ با $43/135\%$ حذف و میزان BOD

فعال اکسیژن (OH^-) شود. این امر باعث کاهش راندمان اکسیداسیون آلاینده‌ها می‌شود. Lakshmanan و همکاران (۲۰۱۴) گزارش کردند که افزایش بیش از حد دوز جاذب می‌تواند واکنش‌های جانبی را در محیط آبی تحریک کند و به جای بهبود، باعث کاهش کارایی شود.

عبارت دیگر، Fe_3O_4 به عنوان یک ماده مؤثر در تصفیه آب خاکستری عمل می‌کند و با افزایش مقدار به حد بهینه، کارایی حذف آلاینده‌ها به طور قابل توجهی افزایش می‌یابد. در فرآیند $\text{UV}/\text{H}_2\text{O}_2$ ، غلظت بالای Fe_3O_4 می‌تواند نور UV را جذب یا پراکنده کند و مانع از تولید رادیکال‌های UV



شکل ۷. تاثیر افزایش نانو ذرات اکسید آهن در ظرفیت حذف آلاینده‌های آلی و معدنی



شکل ۸. تاثیر افزایش نانو ذرات اکسید آهن در راندمان حذف آلاینده‌های آلی و معدنی

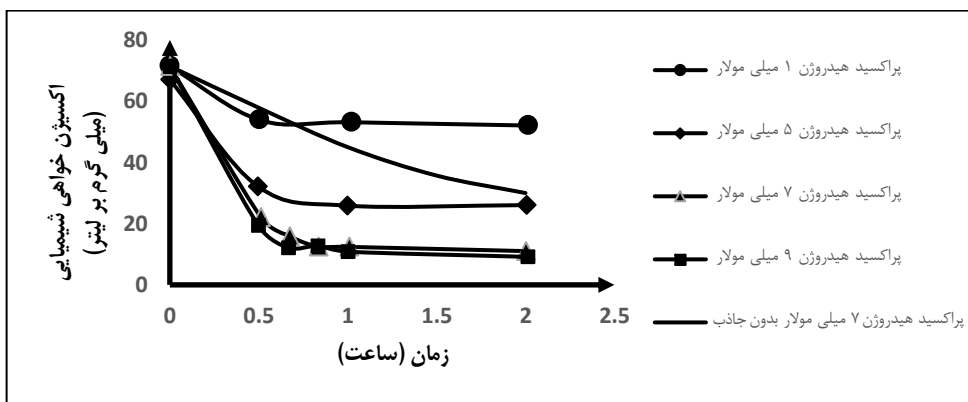
سطحی از اکسیداسیون شیمیایی $\text{UV}/\text{H}_2\text{O}_2$ استفاده گردید. با افروختن $1\text{mM H}_2\text{O}_2$ و تابش دو ساعت UV میزان ۲۱ درصد از COD باقیمانده حذف گردید. با افزایش غلظت H_2O_2 تا 7 mM میزان حذف به 83% با زمان تابش فرایندهش یک ساعت مشاهده گردید. میزان COD باقیمانده برابر $12/1\text{ mg/l}$ و راندمان کل جذب سطحی و اکسیداسیون شیمیایی $\text{UV}/\text{H}_2\text{O}_2$ برابر 93% بدست آمد. همانگونه که در شکل ۸ مشخص شده است زمان تابش

تاثیر استفاده از اکسیداسیون شیمیایی / $\text{UV}/\text{H}_2\text{O}_2$ بعد از جذب سطحی نانو ذرات آهن بر حذف ترکیبات آلی

در مرحله قبل در $\text{pH} = 5$ با اضافه کردن $1/2\text{ g}$ بر لیتر نانو ذرات Fe_3O_4 میزان ۵۸ درصد از COD حذف گردید و آب خاکستری با COD برابر $71/4\text{ mg/l}$ بدست آمد. جهت افزایش راندمان حذف ترکیبات آلی بعد از جذب

۹ مولار تقریباً بر هم منطبق می‌باشد. نمودار شکل ۹ نشان می‌دهد که در صورتی که فرایند جذب سطحی با آهن حذف گردد در مدت زمان یک ساعت و pH برابر ۳ راندمان حذف COD، ۵۶ درصد کاهش می‌یابد و به ۳۷ درصد می‌رسد.

بیشتر از یک ساعت تاثیری در میزان حذف ترکیبات آلی ندارد. راندمان حذف COD در مقادیر ۱، ۵، ۷، ۹ میلی مولار H₂O₂ به ترتیب ۲۵/۶، ۶۳/۸، ۸۲/۶ و ۸۴/۸ درصد حاصل گردید. میزان تغییرات راندمان حذف در مقادیر بیشتر از ۷ مولار ناچیز مشاهده گردید به طوریکه دو نمودار ۷ و



شکل ۹. تاثیر مقدار H₂O₂ و زمان تابش UV بر حذف COD آب‌های خاکستری

راندمان حذف در pH ۵ به دلیل نقطه صفر بار (pHPZC) با pH ۶/۵ مطابق است. افزایش pH با آلانیدهای منفی (مانند مواد آلی و فسفات) مثبت بوده و با آلانیدهای مثبت (مانند کلرورات) مثبت نبوده است. این مکانیسم با واکنش الکترواستاتیک ایجاد می‌کند. این مکانیسم با مطالعات^{۴ و ۱۱} مطابقت دارد که نقش pH در تعیین ظرفیت جذب یون‌های منفی را تأکید کردند. با این حال در pH بزرگتر از ۷، کاهش جذب نیترات (NO₃⁻) به دلیل افزایش بار منفی سطح جاذب و رقابت OH⁻ با NO₃⁻ تأثیر نداشت. که با مطالعات Zazouli و Lu^{۱۰} هم خوانی دارد، زیرا جذب فیزیکی نیترات با Fe₃O₄ ناکارامد است.^{۱۰ و ۱۲} در مورد دوز بهینه جاذب، افزایش غلظت Fe₃O₄ تا ۱/۲ راندمان حذف آلانیدهای را بهبود بخشید، اما غلظت‌های بالاتر از این مقدار باعث لخته‌شدن ذرات و کاهش سطح ویژه موثر شد. این موضوع با مطالعه Lakshmanan در

بحث

یافته‌های این مطالعه نشان دادند که ترکیب فرآیند جذب سطحی با نانوذرات Fe₃O₄ و اکسیداسیون H₂O₂ روشنی مؤثر برای حذف آلانیدهای آب خاکستری، COD، TKN، BOD است. در مرحله جذب سطحی، استفاده از ۱/۲ g/L نانوذرات Fe₃O₄ در pH ۵ و زمان تابش ۴۰ دقیقه منجر به حذف COD٪ ۵۸، BOD٪ ۳۶، TKN٪ ۷۵ و TP٪ ۶۰ شد. با افزودن H₂O₂ با غلظت ۷ mM و تابش UV به مدت ۱ ساعت، راندمان حذف COD به ۹۳٪ افزایش یافت. باقی‌مانده برابر ۱۲/۱ mg/L مشاهده شد که این مقدار بالای حذف نشان‌دهنده اهمیت تلفیق روش‌های فیزیکی و شیمیابی در غلبه بر آلانیدهای مقاوم است. این یافته با مطالعات قبلی^{۳ و ۱۱ و ۱۳} هم خوانی دارد که تأکید کردند بدون تلفیق روش‌ها، دستیابی به استانداردهای محیط‌زیستی غیرممکن است.

شدید به pH ، عدم حذف نیترات و کاهش راندمان در غلاظت‌های بالای H₂O₂ نیازمند بهینه‌سازی بیشتر هستند. این یافته‌ها با مطالعات رحمانی و کنسولتانت سازگار است که تأکید کردن مدیریت دقیق پارامترهای عملیاتی ضروری است.^{۱۳ و ۱۶}

نتیجه‌گیری

این مطالعه نشان داد که رویکرد دوگانه جذب سطحی با Fe₃O₄ و اکسیداسیون UV/H₂O₂ می‌تواند راندمان حذف آلاینده‌های آب خاکستری را به طور قابل توجهی افزایش دهد. در شرایط بهینه شامل pH برابر ۵، زمان تماس ۴۰ دقیقه و دوز ۱/۲g/L، راندمان حذف COD، BOD، TKN و TP به ترتیب٪ ۵۸،٪ ۳۶،٪ ۷۵ و٪ ۶۰ بود. با تلفیق فرآیند اکسیداسیون، راندمان حذف COD به٪ ۹۳ رسید، که این بهبود چشمگیر به تولید رادیکال‌های فعال در واکنش UV/H₂O₂ و تجزیه مواد آلی غیرقابل تجزیه بستگی دارد. این نوآوری در مقایسه با مطالعات قبلی که فقط از روش‌های تکی جذب سطحی استفاده کردند، محدودیت‌های روش‌های مرسوم را برطرف کرده و استانداردهای محیط‌زیستی را فراهم می‌کند.^{۱۱ و ۳} با این حال، چالش‌هایی مانند عدم حذف نیترات، وابستگی شدید به pH و کاهش راندمان در غلاظت‌های بالای H₂O₂ وجود دارد. این محدودیت‌ها نیازمند اصلاح سطح جاذب (مانند پوشش با کیتوزان یا پلیمرهای مغناطیسی) و بهینه‌سازی شرایط عملیاتی برای کاربردهای صنعتی هستند. همچنین، قابلیت بازیابی نانوذرات Fe₃O₄ و کاهش هزینه‌های عملیاتی، این روش را به روشی پایدار و اقتصادی در مقیاس شهری تبدیل کرده است. این مطالعه پیشنهاد می‌کند که تلفیق روش‌های جذب سطحی و اکسیداسیون پیشرفت‌ه با مدیریت دقیق پارامترها مانند pH، غلاظت H₂O₂ و زمان تابش می‌تواند به عنوان الگویی برای مدیریت آب خاکستری در مناطق شهری مطرح شود. تحقیقات آینده باید بر گسترش مقیاس فرآیند، بهینه‌سازی اقتصادی و افزایش ظرفیت حذف نیترات تمرکز کنند، زیرا این چالش‌ها هنوز نیازمند

سال ۲۰۱۴ هم‌خوانی دارد که نشان داد افزایش دوز جاذب ممکن است منجر به اشباع سایت‌های جذب و واکنش‌های جانبی با رادیکال‌های فعال شود.^{۱۱} علاوه بر این، در دوزهای بالا، پراکندگی نور UV توسط نانوذرات Fe₃O₄ می‌تواند راندمان اکسیداسیون را کاهش دهد، که با مطالعه Hatt سال ۲۰۰۷ در مورد محدودیت‌های فرآیندهای AOPs مطابقت دارد.^{۱۵}

در مرحله اکسیداسیون، افزایش غلاظت H₂O₂ از ۱ mM به ۷ mM و کاهش زمان تابش به ۱ ساعت، راندمان حذف COD را از٪ ۲۵/۶ به٪ ۸۲/۶ افزایش داد. با این حال، غلاظت‌های H₂O₂ بالاتر از ۷ mM تأثیر چشمگیری نداشتند، که ممکن است به دلیل واکنش‌های غیرفعال‌کننده رادیکال‌های OH با H₂O₂ اضافی باشد. این پدیده در مطالعات Xu در سال ۲۰۱۲ و Rahmani در سال ۲۰۱۱ گزارش شده است.^{۱۶} همچنین، نتایج نشان دادند که زمان تابش بیش از ۱ ساعت تأثیر معناداری در افزایش حذف نداشت، زیرا رادیکال‌های فعال مصرف شده و واکنش‌های جانبی افزایش یافت. مقایسه با مطالعات مشابه نشان داد که رویکرد دوگانه جذب سطحی و اکسیداسیون شیمیابی در این مطالعه راندمان حذف COD را از٪ ۵۷ (فقط جذب سطحی) به٪ ۹۳ افزایش داد. این تفاوت با مطالعه Gharloghi و همکاران در سال ۲۰۱۶ که تنها٪ ۵۰ COD را با Fe₃O₄ حذف کردند، تفاوت روشنی دارد، که نوآوری تحقیق حاضر را در استفاده از فرآیند تلفیقی بر جسته می‌کند. همچنین، در مقایسه با مطالعه لاشمانا، که ۵۰ درصد از TOC را با Fe₃O₄ اصلاح شده با پلیمر حذف کردند^{۱۱}، تلفیق با UV/H₂O₂ در این پژوهش راندمان را به طور قابل توجهی بهبود بخشید. این نتایج با مطالعات کنسولتانت هم‌خوانی دارد که تأکید کردن بدون تکنیک‌های تکمیلی، دستیابی به استانداردهای دفع فاضلاب غیرممکن است.^{۱۳} در نهایت، نانوذرات Fe₃O₄ با سطح ویژه ۴۰–۶۰ m²/g را به جاذبی کارآمد در مقایسه با روش‌های مرسوم تبدیل کرده است. با این حال، محدودیت‌هایی مانند وابستگی

ملاحظات اخلاقی

این پژوهش با رعایت تمام اصول اخلاقی انجام شده است. از آنجا که این مطالعه در حوزه علوم مهندسی قرار دارد و شامل نمونه‌گیری انسانی، آزمایش‌های بالینی یا استفاده از حیوانات آزمایشگاهی نبوده، نیاز به اخذ کد اخلاق نداشته است. با این حال، تمام فرآیندهای تحقیق بر اساس موازین علمی و اخلاقی صورت پذیرفته است.

مشارکت نویسندها

- طراحی مطالعه، تجزیه و تحلیل داده‌ها، نگارش پیش‌نویس مقاله و ویرایش نهایی: سعید گواهی
- جمع‌آوری داده‌ها، تحلیل آماری و مشارکت در نگارش مقاله: احسان دریکووند
- بررسی منابع و مشارکت در اصلاح مقاله: محسن سلیمانی با بر صاد
- بازبینی انتقادی محتوا: صائب خوشناز
- هماهنگی پژوهش: ایمان پارسه

راهکارهای جایگزین مانند اصلاح سطح یا استفاده از روش‌های تکمیلی هستند. بنابراین، این رویکرد دوگانه می‌تواند به کاهش مصرف آب خالص و افزایش بازیابی آب در شرایط کمبود منابع آبی کمک کند.

سپاسگزاری

نویسندها از همکاری و حمایت‌های ارزشمند پالایشگاه بید بلند بهبهان قدردانی می‌کنند. همچنین از همکاری جناب آقای دکتر صادق معتقد مدیر پژوهش پالایشگاه در طول مراحل مختلف تحقیق صمیمانه سپاسگزاری می‌گردد.

تعارض منافع

نویسندها هیچگونه تعارض منافعی با یکدیگر ندارند.

حمایت مالی

این پژوهش بدون دریافت هرگونه حمایت مالی از سازمان‌ها یا نهادهای داخلی و خارجی انجام شده است.

References

1. Hlongwane GN, Sekoai PT, Meyyappan M, Moothi K. Simultaneous removal of pollutants from water using nanoparticles: a shift from single pollutant control to multiple pollutant control. *Sci Total Environ* . 2019;656:808–33.
2. Xu P, Zeng GM, Huang DL, Feng CL, Hu S, Zhao MH, et al. Use of iron oxide nanomaterials in wastewater treatment: a review. *Sci Total Environ* . 2012;424:1–10.
3. Gharloghi M, Yazdanbakhsh A, Eslami A, Aghayani E. Efficiency of iron oxide nanoparticles in advanced treatment of secondary effluent of municipal wastewater treatment plant. *J Mazandaran Univ Med Sci* . 2016;26(135):130–43.
4. Zhang J, Lin S, Han M, Su Q, Xia L, Hui Z. Adsorption properties of magnetic magnetite nanoparticle for coexistent Cr(VI) and Cu(II) in mixed solution. *Water (Basel)* . 2020;12(2):446.
5. Predescu AM, Matei E, Berbecaru AC, Pantilimon C, Drăgan C, Vidu R, et al. Synthesis and characterization of dextran-coated iron oxide nanoparticles. *R Soc Open Sci* . 2018;5(3):171525.
6. Shojaei S, Khammarnia S, Shojaei S, Sasani M. Removal of reactive Red 198 by nanoparticle zero valent iron in the presence of hydrogen peroxide. *J Water Environ Nanotechnol* . 2017;2(2):129–35.
7. Renu, Agarwal M, Singh K. Heavy metal removal from wastewater using various adsorbents: a review. *J Water Reuse Desal* . 2017;7(4):387–419.
8. Mohapatra M, Anand S. Synthesis and applications of nano-structured iron oxides/hydroxides – a review. *Int J Eng Sci Technol* . 2011;2(8):127–46.
9. Ali A, Zafar H, Zia M, ul Haq I, Phull AR, Ali JS, et al. Synthesis, characterization, applications, and challenges of iron oxide nanoparticles. *Nanotechnol Sci Appl* . 2016;9:49–67.
10. Zazouli MA, Belarak D, Karimnezhad F, Khosravi F. Removal of fluoride from aqueous solution by using of adsorption onto modified *Lemna minor*: adsorption isotherm and kinetics study. *J Mazandaran Univ Med Sci* . 2014;23(109):195–204.
11. Lakshmanan R, Sanchez-Dominguez M, Matutes-Aquino JA, Wennmalm S, Kuttuva Rajarao G. Removal of total organic carbon from sewage wastewater using poly(ethylenimine)-functionalized magnetic nanoparticles. *Langmuir* . 2014;30(4):1036–44.
12. Drenkova-Tuhtan A, Mandel K, Paulus A, Meyer C, Hutter F, Gellermann C, et al. Phosphate recovery from wastewater using engineered superparamagnetic particles modified with layered double hydroxide ion exchangers. *Water Res* . 2013;47(15):5670–7.
13. Consultants I. Code. In: Fire Flow Water Consumption in Sprinklered and Unsprinklered Buildings, An Assessment of Community Impacts. Philadelphia: Springer Science & Business Media; 2012.
14. Lu AH, Salabas EL, Schüth F. Magnetic nanoparticles: synthesis, protection, functionalization, and application. *Angew Chem Int Ed* . 2007;46(8):1222–44.
15. Hatt BE, Fletcher TD, Deletic A. Treatment performance of gravel filter media: implications for design and application of stormwater infiltration systems. *Water Res* . 2007;41(12):2513–24.
16. Rahmani AR, Ghafari HR, Samadi MT, Zarabi M. Synthesis of zero valent iron nanoparticles (nZVI) and its efficiency in arsenic removal from aqueous solutions. *Water Wastewater* . 2011;1:35–41.